

精炼低碱度渣脱硫工艺研究

管 挺, 孟晓玲, 于飞, 杨谱

(中天钢铁集团有限公司, 江苏 常州, 213100)

Study on Desulfurization Process of Refining Low Basicity Slag

Guan Ting, Meng Xiaoling, Yu Fei, Yang Pu

(Zenith steel group co., LTD. Chang zhou City, Jiangsu Province, 213100)

1. 前言

对于大多数钢种而言, 钢中硫含量容易造成钢材热脆, 会降低其加工和使用性能^[1-4]。某公司炼钢厂生产 45、55、60、70 等硬线钢, 为保证钢材质量, 要求内控硫含量 $\leq 0.015\%$ 。现有工艺生产硬线钢的工艺流程为: 转炉 \rightarrow 精炼 \rightarrow 连铸, 由于采用未脱硫预处理的铁水直接进转炉吹炼, 转炉终点硫含量相对较高, 分布在 0.01~0.05%, 均值为 0.032%。铝脱氧容易导致连铸水口堵塞钢水可浇性差^[5-7], 因此, 该公司生产硬线钢时, 主要采用碳化硅和电石进行渣面脱氧, 采用硅锰合金进行钢水脱氧。对于要求硫含量 $\leq 0.015\%$ 的钢种, 存在脱硫压力大, 生产不稳定的情况。为了解决这一问题, 结合 70 钢的生产实践, 开展硅脱氧钢水的脱硫工艺研究。生产实践表明, 采用新的脱硫工艺进行脱硫处理, 钢水中的硫含量能稳定控制在 0.015% 以内。

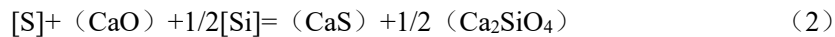
2. 钢水脱硫的热力学分析

钢水熔炼过程中, 炼钢炉内的脱硫反应都是在渣-钢水间进行的, 其反应式^[8]为



该反应的平衡常数为 $K_S = \frac{\alpha_{(\text{S}^{2-})} \alpha_{[\text{O}]}}{\alpha_{[\text{S}]} \alpha_{[\text{O}^{2-}]}}$, $\alpha_{(\text{S}^{2-})}$ 和 $\alpha_{[\text{O}^{2-}]}$ 分别为硫离子和氧离子的活度, $\alpha_{[\text{S}]}$ 和 $\alpha_{[\text{O}]}$ 分别代表钢液中硫和氧的活度。结合生产的实际情况, 钢水脱硫时, 一般加入硅铁和碳化硅进行脱氧, 这时总的

脱硫反应可写成



从对脱硫反应式(2)可以看出, 在热力学上影响脱硫反应的因素有: 平衡常数、炉渣中硫离子和氧离子活度, 钢水氧、硫和硅的活度^[9-10]。由于转炉出钢后钢水中的元素含量相对较低, 并采用大流量搅拌, 钢包内的渣-金反应更容易达到平衡。针对此种情况, 本文采用 FactSage 热力学软件中的多元多相平衡 (Equilib) 模块和相图计算模块, 探讨脱硫反应的影响因素。

2.1. 炉渣组成对脱硫的影响

以 $\text{CaO-SiO}_2\text{-CaF}_2$ 渣系, 计算三元系相图, 如图 1 所示。由图 1 可知, 在氧化钙的饱和析出线上, 氧化钙的活度最大, 可达 0.147; 在硅酸二钙饱和析出线附近, 氧化钙的活度为 0.007 左右。以 $\text{CaO-SiO}_2\text{-CaF}_2$ 三元渣系, 为提高炉渣的脱硫效果, 且保证炉渣具有良好的流动性, 最佳的脱硫渣组成应在 AB 段, 此时 CaF_2 含量在三元渣系中的占比为 16% 以上。

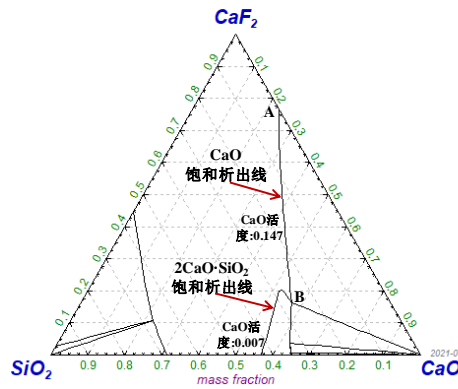


图 1 CaO-SiO₂-CaF₂ 三元渣系相图

Fig. 1 Phase diagram of CaO-SiO₂-CaF₂

在 CaO-SiO₂-CaF₂ 三元渣系基础上配加 5%Al₂O₃，此时的三元相图如图 2 所示，图 2 中红色的虚线为 CaO-SiO₂-CaF₂ 渣系相图，黑色实线为 CaO-SiO₂-CaF₂+5%Al₂O₃ 渣系相图，配加 5%Al₂O₃ 后，最佳脱硫渣组成由 AB 线转变为 A'B'线，最佳脱硫渣碱度略有提高，三元渣系的最低 CaF₂ 含量由 16%降低到 12%，可减少 CaF₂ 配入。

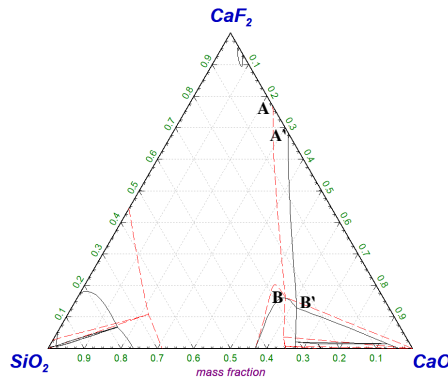


图 2 CaO-SiO₂-CaF₂ 及 CaO-SiO₂-CaF₂+5%Al₂O₃ 三元渣系合成相图

Fig. 2 Phase diagram of CaO-SiO₂-CaF₂ and CaO-SiO₂-CaF₂+5%Al₂O₃

2.2. CaF₂ 含量对炉渣熔点的影响

以 CaO-SiO₂-CaF₂+5%Al₂O₃+8%MgO，计算 CaF₂ 含量和炉渣碱度对渣系熔点的影响，计算结果如图 3 所示。由图 3 可知，随着炉渣碱度的增加，渣系熔点总体呈上升趋势；随 CaF₂ 含量的增加，渣系熔点明显下降。实际的炉渣组成更为复杂，相应的炉渣熔点应更低，但本计算可模拟炉渣熔点的变化趋势。

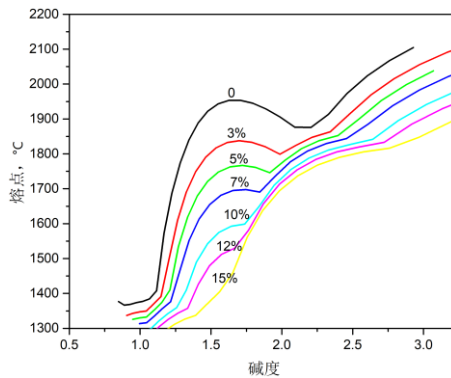


图 3 CaF₂ 含量及炉渣碱度对炉渣熔点的影响

Fig. 3 Effect of CaF₂ content and slag basicity on slag melting point

2.3. 钢水硫含量的影响因素分析

2.3.1. 炉渣组成对脱硫的影响

采用 FactSage 热力学软件中的 Equilib 模块，计算炉渣组成对脱硫的影响。设计炉渣组成为： $\text{CaO-SiO}_2\text{-CaF}_2+5.0\%\text{Al}_2\text{O}_3+10\%\text{MgO}+0.5\%\text{CaS}$ ，炉渣量设为 1g；以 70 钢种设计钢水成分为：C: 0.7%，Si: 0.2%，Mn: 0.7%，P: 0.02%，S: 0.03%，O: 0.002%，其余为铁，钢水量设为 100g；温度设定为 1560℃。以此为条件，计算平衡条件下炉渣碱度及 CaF_2 含量对钢水硫含量的影响，计算结果如图 4 所示。由图 4 可知，低碱度情况下，基本无法脱硫，甚至存在回硫现象；当碱度增加到一定值时，随着炉渣碱度的增加，脱硫速度迅速增加，理论计算结果显示，当炉渣碱度增加到 2.8 时，达到平衡时的钢水硫含量可控制在 0.005% 以下；当炉渣碱度超过一定值时，炉渣碱度对脱硫的影响变小。另外，由图 4 中可知，在同一炉渣碱度情况下，随着 CaF_2 含量的增加，脱硫效果越好。

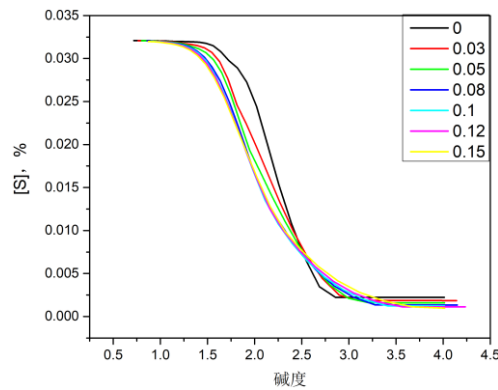


图 4 炉渣碱度及 CaF_2 含量对脱硫的影响

Fig. 4 Effect of slag basicity and CaF_2 content on desulfurization

2.3.2. 钢水硅含量对脱硫的影响

为提高硬线钢钢水的可浇性，一般采用硅脱氧，钢水中的硅含量对钢水的自由氧含量有较大影响，从而影响脱硫效果。基于此，设定炉渣成分为： $52.6\%\text{CaO}+21.1\%\text{SiO}_2+10\%\text{CaF}_2+5.0\%\text{Al}_2\text{O}_3+10\%\text{MgO}+0.5\%\text{CaS}$ ，炉渣量设为 1g；钢水成分为：C: 0.7%，Si: 0.01-0.2%，Mn: 0.7%，P: 0.02%，S: 0.03%，O: 0.002%，其余为铁，钢水量设为 100g；温度设定为 1560℃；计算平衡时钢水硅含量对钢水硫含量的影响，计算结果如图 5 所示。由图 5 可知，在相同炉渣碱度和熔池温度下，随着钢水硅含量的增加，钢水中的硫含量迅速降低；当钢水中的硅含量由 0.01% 增加至 0.2%，钢水中的硫含量可由 0.02% 降低至 0.007%。

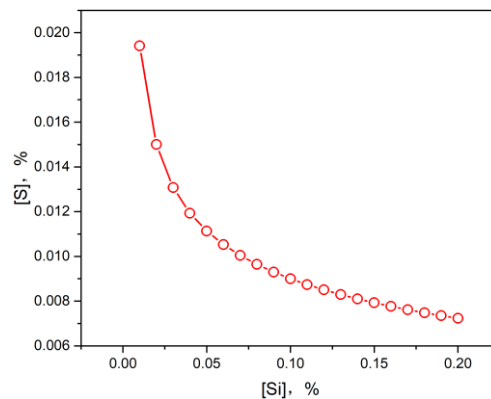


图 5 钢水硅含量对脱硫的影响

Fig 5 Effect of [Si] of steel on desulfurization

综上所述可知，在保证炉渣为液相的情况下，尽量提高炉渣碱度；满足钢水目标成分的前提下，尽量提高钢水硅含量；可提高脱硫效果。

3. 生产实践

3.1. 试验方案

在 70 钢开展 13 炉脱硫生产试验，试验控制要点如下：

(1) 转炉终点：[C] 0.05~0.12%，[P]≤0.025%，T：1620~1650℃。

(2) 出钢：出钢过程合金和造渣料的加入顺序为出钢 1/4 开始加入脱氧剂、之后根据钢种需求加入低氮增碳剂、硅铁、硅锰，钢水硅含量尽可能在出钢过程即加到位；合金加完之后加入一定量的石灰和萤石。

(3) LF 精炼：精炼前期根据炉渣流动性，分批适量加入石灰和萤石；加入渣面脱氧剂进行渣面脱氧；底吹流量控制在 150~250L/min，避免钢水大面积裸露；根据浇注需求，控制合适的钢水温度。

3.2. 试验结果及分析

3.2.1. 试验结果

转炉出钢至精炼处理结束，钢水硫含量的变化情况如图 6 所示。由图 6 可知，随着脱硫时间的延长以及脱氧的进行，从转炉到精炼出站，钢水硫含量逐渐降低。经统计，出钢渣洗以及搅拌操作，精炼到站脱硫率分布在 18.2~44.4%，均值为 32.2%；精炼出站硫含量均低于 0.015%，平均脱硫率可达 52.3%。

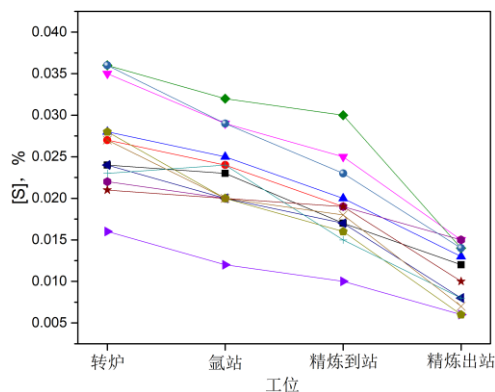


图 6 试验炉次各工位硫含量控制情况

Fig. 6 sulfur content of each station during the test

3.2.2. 工业化应用情况

2021 年第二季度，采用新的试验方案组织硬线硅脱氧钢生产，成品硫含量分布情况及内控硫合格率与常规工艺的对比，如图 9 和图 10 所示。由图 9 和图 10 可知，与常规工艺相比，试验工艺成品硫含量明显降低，均值可由 0.014%降低到 0.010%，内控合格率（成品硫含量≤0.015%）的比例由 73.1%提高到 94.2%，明显提高。

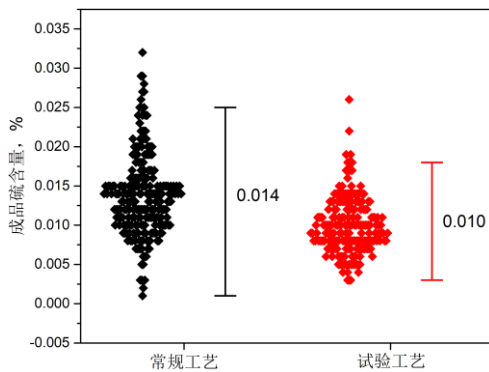


图9 工艺优化前后成品硫对比

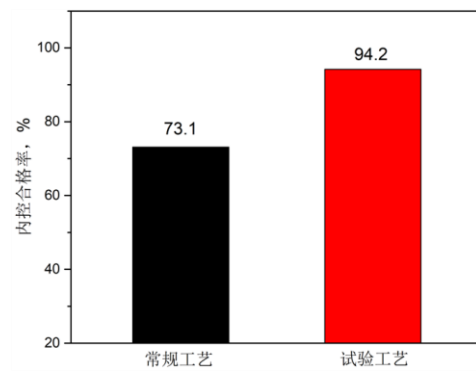


图10 工艺优化前后内控硫合格率对比

Fig. 9 Comparison of [S] before and after process optimization Fig. 10 Comparison of qualified rate of sulfur before and after process optimization

4. 结论

(1) 热力学计算表明：炉渣熔点随炉渣碱度的增加而逐渐增加，随 CaF_2 含量的增加而逐渐降低；钢水硫含量随炉渣碱度和 CaF_2 含量以及钢水硅含量的增加而逐渐降低，在保证炉渣为液相的情况下和钢水硅含量，能提高脱硫效果。

(2) 生产实践表明：采用新的工艺冶炼，精炼处理结束硫含量可控制在 0.015% 以内，工业应用表明，采用新工艺生产，成品硫含量内控合格率可由 73.1% 提高至 94.2%。

参考文献

- [1] 王新华. 钢铁冶金—炼钢学 [M]. 北京：高等教育出版社，2007：36-37.
- [2] 刘浏. 超低硫钢生产工艺技术[J]. 特殊钢，2000，21（5）：29-33.
- [3] 杨文远，郑丛杰，杜昆，等. 大型转炉炼钢脱硫的研究[J]. 钢铁，2002，37（12）：14-16.
- [4] 杨森祥. 洁净钢生产中硫的控制[J]. 北京科技大学学报，2011，33（1）：151-156.
- [5] 刘学华，韩传基，蔡开科，等. 小方坯连铸低碳低硅铝镇静钢可浇性[J]. 北京科技大学学报，2005，27（4）：431-435.
- [6] 杨明磊，程常桂，李阳，等. 连铸中间包水口堵塞机理及控制技术的发展[J]. 钢铁研究学报，2017，29（10）：773-779.
- [7] 乔焕山，王宝生，王莉，等. 铝镇静钢水口结瘤问题研究[J]. 炼钢，2015，31（1）：56-60.
- [8] 黄希祜. 钢铁冶金原理[M]. 北京：冶金工业出版社，2002，380-385.
- [9] 薛正良，胡志刚，阎小平，等. 弱脱氧钢水脱硫工艺研究[J]. 钢铁，2008，43（6）：22-24.
- [10] 姜周华，张贺艳，战东平，等. LF 炉冶炼超低硫钢的工艺条件[J]. 东北大学学报，2002.23（10）：952-955.